

Etude de la longueur de cohérence
d'un condensat - Expérience de Gaithersburg

① Introduction T. 221 - T. 225

- Principe de l'expérience
- Autres expériences récentes utilisant des méthodes analogues

② Rappels sur la diffraction d'un jet atomique par un
réseau lumineux périodique T. 226 - T. 236

- Régime de Raman - Nath
- Régime de Bragg
- Description des phénomènes dans le référentiel au repos de l'atome
- Exemples de résultats expérimentaux

③ L'expérience de Gaithersburg T. 237 - T. 246

- Séquence temporelle
- Effet des interactions
- Corrélation de fluctuations
- Résultats expérimentaux
- Conclusion

④ Coupleur de sortie utilisant des transitions Raman
stimulées entre un état piégant et un état non piégant

T. 247 - T. 250

- Principe
- Résultats expérimentaux

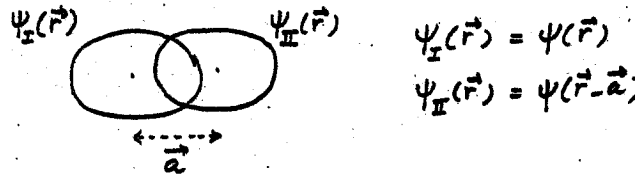
Références T. 251 - T. 252

But de ce cours

T-221

Décrire une autre méthode de mesure de la longueur de cohérence λ_c d'un condensat (Ref. 1)

L'idée consiste à préparer 2 copies identiques du même condensat, séparées d'une distance a ,



puis de mesurer un signal proportionnel à l'intégrale de recouvrement I

$$I = \int \Psi_{II}^*(\vec{r}) \Psi_I(\vec{r}) d^3r = \int \psi^*(\vec{r}-\vec{a}) \psi(\vec{r}) d^3r$$

$$= \int \psi^*(\vec{r}) \psi(\vec{r}+\vec{a}) d^3r = \langle \vec{r} + \vec{a} | \rho^{(1)} | \vec{r} \rangle$$

On mesure ainsi directement la cohérence spatiale globale $G(\vec{a})$ introduite dans le cours VII (voir T-190)

Détermination de λ_c

T-222

- On mesure l'intégrale de recouvrement I pour diverses valeurs de a
- Si la phase du condensat est la même en tous les points du condensat, la décroissance de I avec a se fait sur une distance de l'ordre de l'extension spatiale du condensat
- Au lieu de mesurer la distribution d'impulsion $P(\vec{p})$, qui n'est autre que la transformée de Fourier de $G(\vec{a})$ (expérience décrite dans le cours VII), on mesure ici directement $G(\vec{a})$

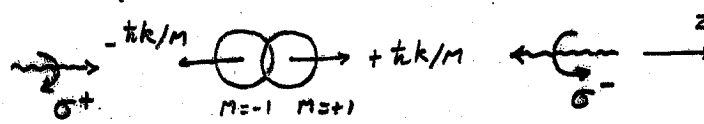
Autres expériences analogues

Mesure de $G(\vec{a})$ sur des images d'atomes ultrafroids (non condensés) obtenus par refroidissement subrecrent utilisant des résonances moires sélectives en vitesse [Ref. 2]

Mesure de $G(\vec{a})$ dans les expériences de refroidissement subrecrent

T-223

- Le refroidissement de He métrastable par piégeage cohérent de population sélectif en vitesse (VSCPT) porte les atomes dans une superposition de 2 paquets d'ondes dans les états $M=\pm 1$ du niveau 2^3S_1 , s'éloignant avec les vitesses $\pm \tau k/m$



- On laisse les atomes en vol libre pendant une durée T_D . Les 2 paquets d'ondes se séparent de $a = 2\tau k T_D/m$
- On applique 2 faisceaux laser δ^+ et δ^- se propageant en sens inverse qui couplent l'état précédent à un état final formé de 2 paquets d'ondes immobiles dans le même état interne e_0 ($M=0$ de 2^3P_1)



- Le signal observé est proportionnel à la probabilité d'excitation de l'atome, elle-même proportionnelle à

$$\frac{1}{2} [1 + G(\vec{a})]$$

où $G(\vec{a})$ est l'intégrale de recouvrement des 2 paquets d'ondes avec l'atome dans e_0

- La motivation de cette expérience était de mesurer $P(\vec{p})$

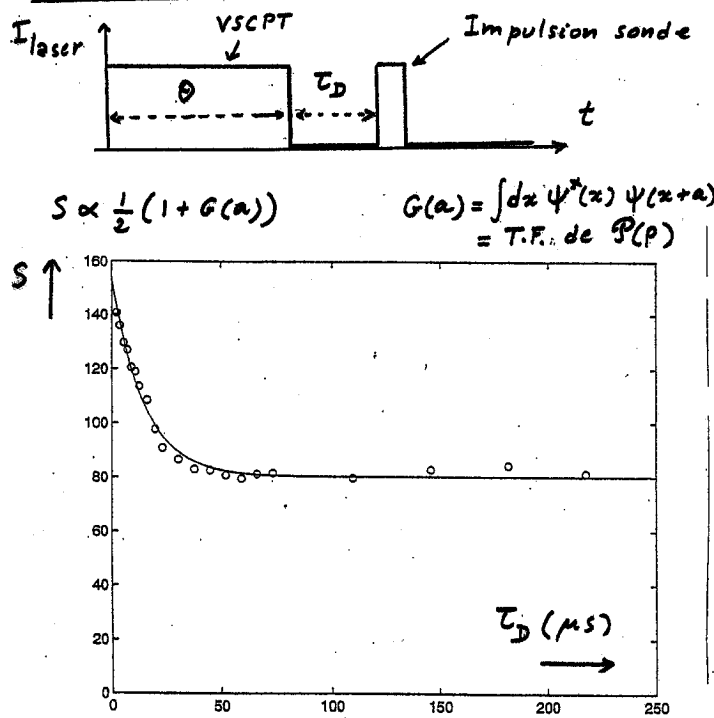
Le refroidissement subrecrent permet d'atteindre des températures de l'ordre du nanokelvin, trop basses pour être mesurables par les méthodes de temps de vol traditionnelles, le nuage d'atomes ayant une extension spatiale initiale trop grande

- Il est plus facile alors de mesurer $G(\vec{a})$ et d'en déduire par transformée de Fourier $P(\vec{p})$

Analogie avec la spectroscopie de Fourier en vitesse

Exemple de résultat

T-225

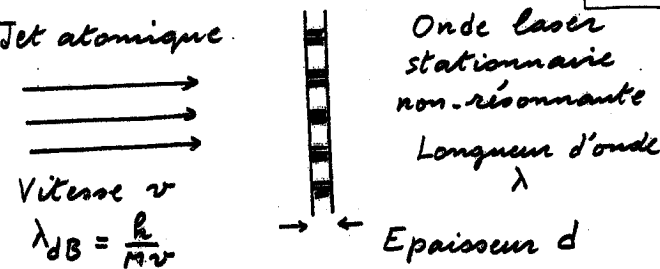


$$\frac{\delta p}{\hbar k} = \frac{1}{25} \quad T = \frac{T_{\text{révol}}}{625} = 8 \text{ nK}$$

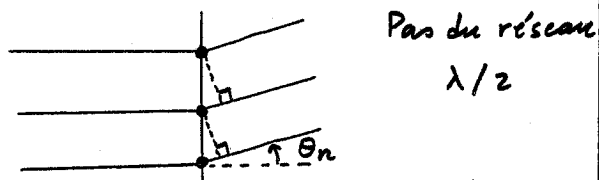
Figure extraite de la ref. 2

Diffraction d'un jet atomique par une onde laser stationnaire (Refs 3 à 7)

T-227

① Régime de Raman-Nath d est très petit

L'effet de la traversée de l'onde lumineuse est équivalent à celui d'une lame de phase pour l'onde de de Broglie.



$$\sin \theta_n = 2n \frac{\lambda_{dB}}{\lambda_{opt}}$$

$$\frac{\lambda_{opt}}{2} \sin \theta_n = n \lambda_{dB}$$

$$n = \pm 1, \pm 2, \dots$$

Comment préparer une "copie" d'un condensat?

T-226

- Transitions à 2 photons par effet Raman stimulé entre 2 états fondamentaux de même nombre quantique avec des impulsions laser très brèves

$$\text{Durée } T \text{ des impulsions} \ll \frac{\hbar}{E_{\text{révol}}} = \frac{2M}{\hbar k^2}$$

- Dans l'expérience décrite dans le cours VII, on avait au contraire $T \gg \hbar/E_{\text{révol}}$ de manière à avoir des transitions Raman très sélectives en vitesse
- Pour bien comprendre les différences entre ces 2 régimes, il sera utile de revenir aux expériences de diffraction d'un jet atomique par une onde laser stationnaire et de discuter les différences entre le régime de Raman-Nath et le régime de Bragg

Interprétation corpusculaire

T-228

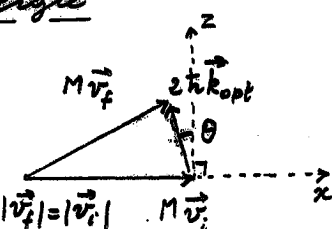
Transfert d'impulsion $\epsilon \hbar k_{\text{opt}}$ par des processus de redistribution (absorption dans une onde suivie d'une émission stimulée dans

$$2n \frac{\hbar k_{\text{opt}}}{\hbar/\lambda_{\text{opt}}} = Mv \sin \theta_m$$

$$\hookrightarrow \sin \theta_m = 2n \frac{\lambda_{dB}}{\lambda_{\text{opt}}}$$

Conservation de l'énergie

La diffraction par un potentiel statique ne change pas le module de l'impulsion de l'atome



Le transfert d'impulsion $\epsilon \hbar k_{\text{opt}}$ de l'onde laser fait donc un angle θ avec O_x

$$\theta = \frac{\hbar k_{\text{opt}}}{Mv}$$

Ceci est possible à cause de l'extension finie d du faisceau laser entraînant une dispersion d'impulsion des photons $n \hbar / d$ suivant O_x

Conditions de validité du régime de Raman-Nath

T-229

t/d doit être suffisamment grand pour permettre au transfert d'impulsion de l'onde laser de faire avec Oz un angle plus grand que $\theta = t k_{\text{opt}} / M v$

$$\frac{t/d}{t k_{\text{opt}}} \gg \frac{t k_{\text{opt}}}{M v}$$

$$\frac{d}{v} = t_{\text{traversée}} \ll \frac{M}{t k_{\text{opt}}^2} = \frac{t}{2 E_{\text{atom}}} = \frac{t}{2 E_{\text{atom}}}$$

Le temps de traversée de l'onde laser par l'atome doit être très court devant $\frac{t}{E_{\text{atom}}}$

② Régime de Bragg $t_{\text{traversée}} \gg \frac{t}{E_{\text{atom}}}$

On a alors un faisceau laser très large.

La dispersion d'impulsion des photons suivant Ox est trop faible pour permettre une conservation simultanée de l'énergie et de l'impulsion si la vitesse atomique initiale est dirigée suivant Ox

Premières expériences de diffraction T-231 d'un jet atomique par une onde stationnaire

Voir références 3 à 6

Interféromètre atomique utilisant la diffraction de Bragg comme lame séparatrice

Voir référence 7

Preuve du caractère cohérent de la diffraction

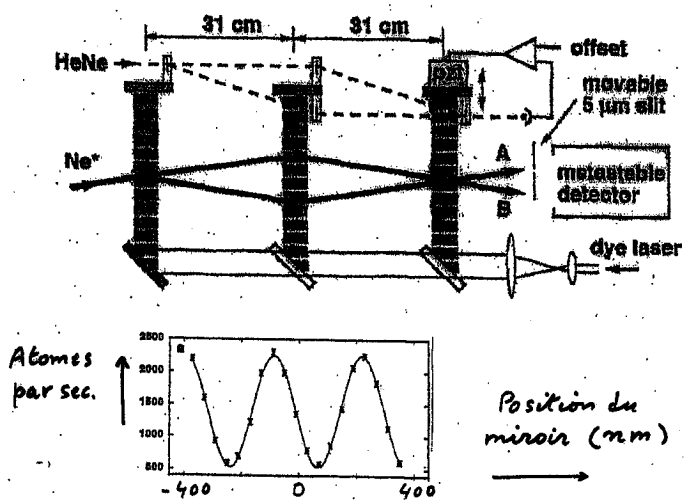
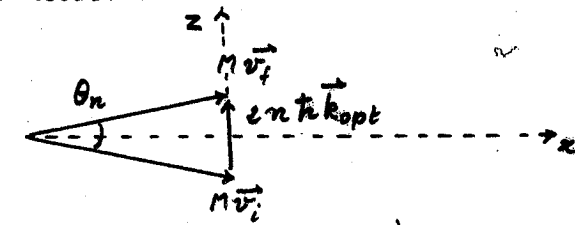


Figure extraite de la référence

Diffraction de Bragg

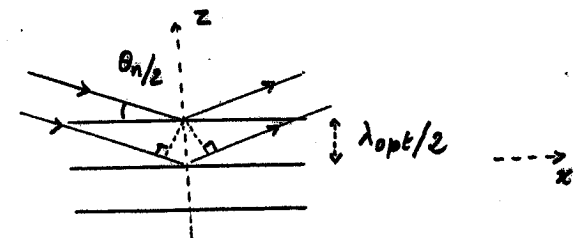
T-230

Interprétation corpusculaire



$$\sin \frac{\theta_n}{2} = \frac{n t k_{\text{opt}}}{M v} = n \frac{\lambda_{\text{dB}}}{\lambda_{\text{opt}}}$$

Interprétation ondulatoire



$$2 \frac{\lambda_{\text{opt}}}{2} \sin \frac{\theta_n}{2} = n \lambda_{\text{dB}}$$

$$\sin \frac{\theta_n}{2} = n \frac{\lambda_{\text{dB}}}{\lambda_{\text{opt}}}$$

La vitesse incidente doit être inclinée par rapport à Ox

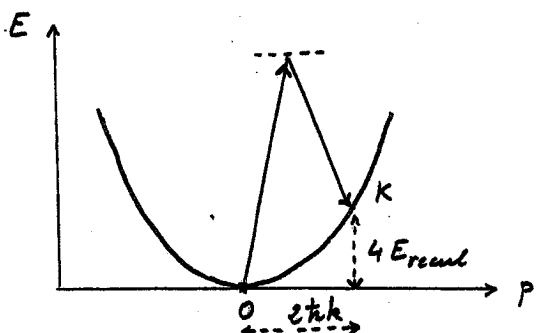
Description des phénomènes dans le référentiel au repos de l'atome T-232

- L'atome "voit" des impulsions laser de durée $t_{\text{traversée}}$
- Les régimes de Raman-Nath (et de Bragg) correspondent à des impulsions de durée très courte (très longue) devant $t/d/E_{\text{atom}}$
- La redistribution de photons entre les 2 ondes correspond, dans le référentiel au repos de l'atome, à une transition par effet Raman stimulé entre 2 états de même nombre quantique interne
- Si le régime étudié est celui de Bragg, l'angle de la trajectoire atomique avec le faisceau laser n'est pas égal à 90° . Les 2 fréquences apparentes des 2 ondes laser se propageant en sens opposé subissent des décalages Doppler de signes contraires et ne sont plus identiques

Condensat soumis à 2 impulsions laser se propageant dans des sens opposés

① Situations équivalentes au régime de Bragg $\tau \gg \frac{\hbar}{E_{\text{Rcool}}}$

La dispersion en énergie des impulsions laser, \hbar/τ , est beaucoup plus faible que l'écart d'énergie entre les 2 états reliés par la transition Raman



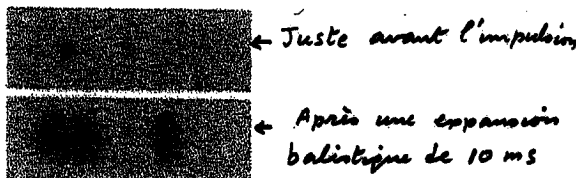
Si l'on part de 0 ($p=0, E=0$), on arrive à K ($p=2\pi\hbar k, E=4\frac{\hbar^2 k^2}{2m}=4E_{\text{Rcool}}$)

Exemples de résultats expérimentaux

T.235

Figures extraites de la référence 8

- Transfert d'une tranche de vitesse après une phase d'expansion balistique
Durée de l'impulsion : 55 μs



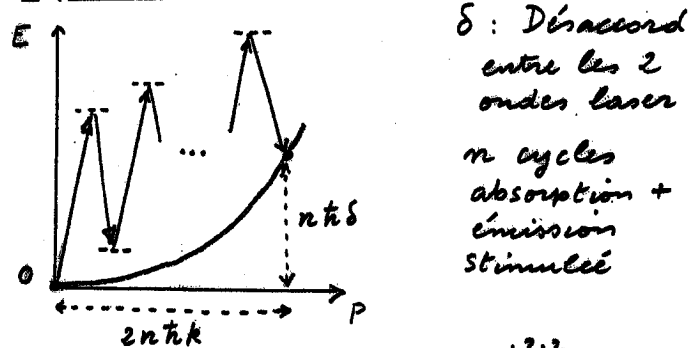
- On diminue considérablement δp en ouvrant adiabatiquement le piège. Toute la distribution de vitesse est alors quantifiée

Observation de résonances d'ordre supérieur

$\delta = 0$	Pas de résonance
$\delta = 98 \text{ KHz}$	$m = 1$
$\delta = 200 \text{ KHz}$	$m = 2$
$\delta = 300 \text{ KHz}$	$m = 3$
$\delta = -98 \text{ KHz}$	$m = -1$

Transitions de type Bragg d'ordre supérieur

T.234



Résonance si $n(2\pi\hbar k) = n \frac{4\hbar^2 k^2}{2m} = 4n E_{\text{Rcool}}$

Problème à 2 niveaux équivalents

Le niveau de départ et le niveau final relié de manière résonante au 1er sont couplés avec une fréquence de Rabi effective proportionnelle à ω_r^{2n}

Si la durée de l'impulsion τ est telle que $\hbar/\tau \ll \hbar k \delta p/m$, où δp est la dispersion d'impulsion du condensat, on peut transférer une tranche de vitesse bien définie du condensat (cas de l'expérience décrite dans le cours VII)

② Situations équivalentes au régime de Raman-Nath

T.236

$$\tau \ll \frac{\hbar}{E_{\text{Rcool}}}$$

- Les impulsions laser sont alors très brèves.

Pour Na, $\frac{\hbar}{E_{\text{Rcool}}} \approx 40 \mu\text{s}$

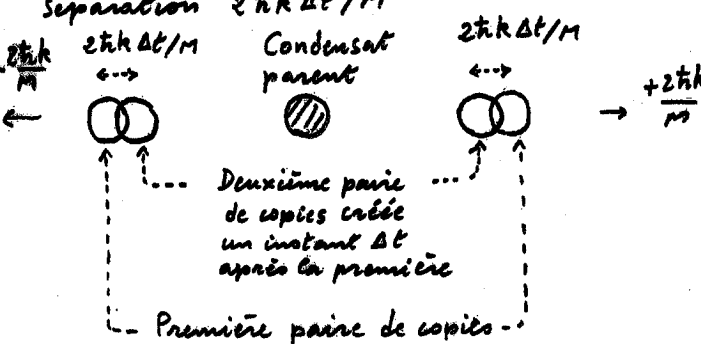
Les expériences de la référence sont faites avec $\tau = 100 \text{ ns}$

- Il n'est plus alors nécessaire de prendre 2 fréquences différentes pour les 2 impulsions laser
- Des transferts de toutes les classes de vitesses du condensat sont alors possibles avec des changements d'impulsion $2\pi\hbar k$, $n = \pm 1, \pm 2, \dots$
- Si l'intensité laser n'est pas très élevée, les transferts $|n| > 1$ sont négligeables devant les transferts $n = \pm 1$

Principe de l'expérience de GaithersburgSignal mesuré

T-238

- Impulsions brèves d'onde stationnaire $T \ll \hbar/E_{\text{Recul}}$
- Une première impulsion à $t=0$ crée 2 copies du condensat "parent" s'éloignant de ce condensat parent avec des vitesses $\pm 2\hbar k/M$
- A l'instant Δt , une 2^{ème} impulsion d'onde stationnaire crée 2 nouvelles copies séparées des 2 premières de $2\hbar k \Delta t/M$
- L'ensemble des 2 paires de copies s'éloigne du condensat parent à la vitesse $\pm 2\hbar k/M$, en gardant la même séparation $2\hbar k \Delta t/M$

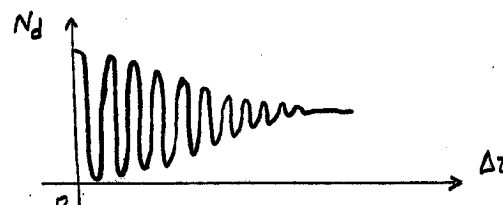
Interférence entre les 2 copies

T-239

- Après l'instant $t=\Delta t$, les 2 copies ont la même énergie et le déphasage entre elles, $4E_{\text{Recul}} \Delta t/h$, ne change plus
- Si Δt est suffisamment petit pour que l'écart $a = 2\hbar k \Delta t/M$ entre les 2 copies soit petit devant leur extension spatiale, le recouvrement des 2 copies est total et leur interférence ne dépend que du déphasage $4E_{\text{Recul}} \Delta t/h$ acquis entre 0 et Δt

On s'attend donc à observer une modulation de N_d à la fréquence $4E_{\text{Recul}}/h$ et un contraste 1

- Pour des valeurs plus grandes de Δt , les 2 copies ne se recouvrent plus et le contraste de la modulation diminue et s'annule quand $a = 2\hbar k \Delta t/M \gg \lambda_c$

Effet des interactions

T-240

Les atomes subissant la transition Raman acquièrent non seulement l'énergie cinétique $4E_{\text{Recul}}$, mais aussi une énergie d'interaction supplémentaire $g n(\vec{r})$ due au champ moyen, $n(\vec{r})$ étant la densité d'atomes en \vec{r}

Même effet que celui discuté dans le cours VII (voir T.201 et T.202)

Ordre de grandeur de l'effet des interactions

Calculé dans la référence 1

Change la fréquence de modulation du signal. Ajoute 0.3 KHz à la fréquence $4E_{\text{Recul}}/h \approx 100.1$ KHz

Effet faible

Procédure expérimentale

T-241

Une paire d'impulsions séparées de Δt serait en principe suffisante

Difficultés liées aux fluctuations

- de l'efficacité β du transfert Raman (fluctuations de l'intensité laser)
- du nombre d'atomes condensés N

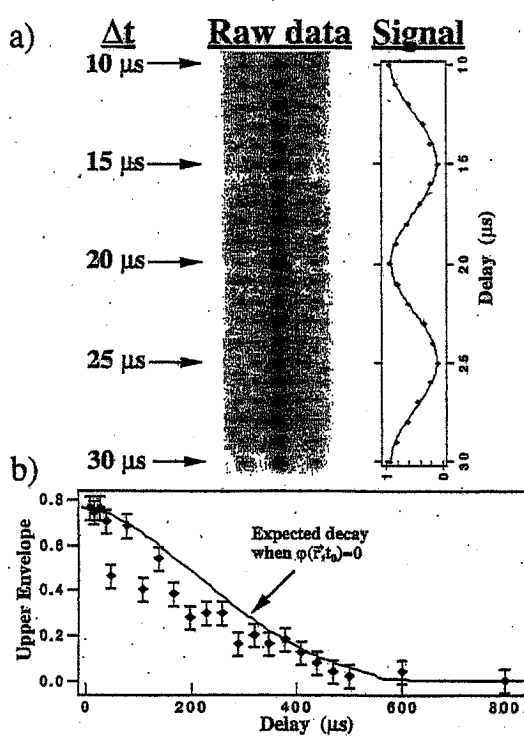
Solution utilisée pour ces difficultés

- On utilise 2 paires d'impulsions successives, la 1^{re} paire avec une séparation Δt , la 2^{me} avec une séparation $\Delta t + 5\mu s$, 5 μs étant la demi-période des oscillations du signal N_d à la fréquence 4 Ercc/h
- La somme $N_d(\Delta t) + N_d(\Delta t + 5\mu s)$ est indépendante de Δt et servira à normaliser le signal $N_d(\Delta t)$ pour le corriger des fluctuations mentionnées plus haut
- Le signal utilisé est donc

$$\frac{N_d(\Delta t)}{N_d(\Delta t) + N_d(\Delta t + 5\mu s)}$$

Résultats expérimentaux

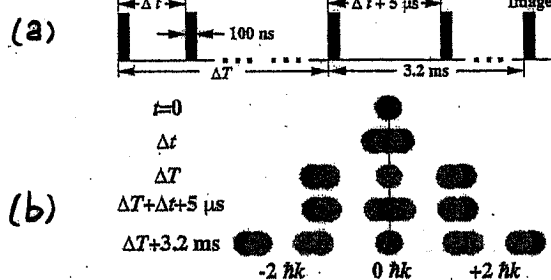
T-243



Figures extraites de la référence 1

(a) Séquence temporelle

T-242



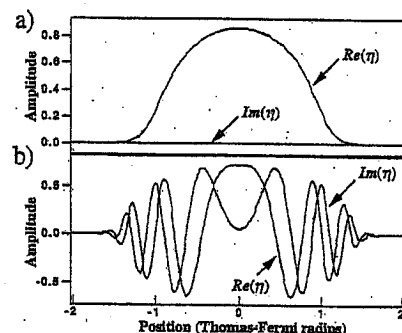
(b) Position des paires de copies aux divers instants

Figure extraite de la référence 1

Parties réelle et imaginaire de la solution de l'équation de Gross-Pitaevskii

T-244

Figures extraites de la référence 1



(a) Condensat piégé

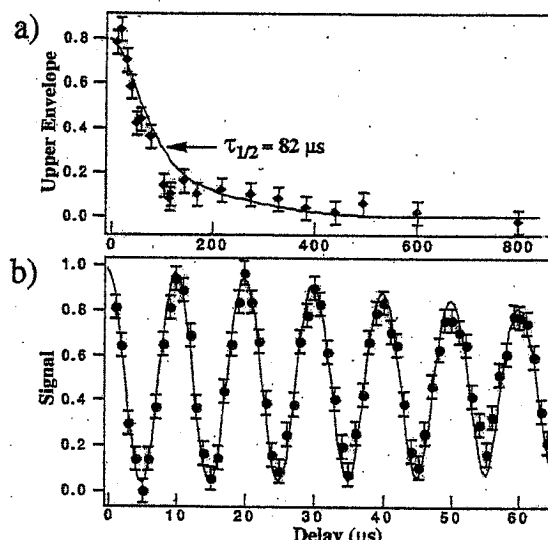
(b) Après une expansion balistique de 8 ms

Pour un condensat piégé, la fonction d'onde est réelle

Au cours de l'expansion balistique, les interactions accélèrent les atomes. Une phase variant avec \vec{r} apparaît

$\langle \vec{p} | \vec{p} \rangle$ devient plus large et λ_c doit diminuer

Résultats expérimentaux après une T-245 expansion balistique de 1.2 ms



Figures extraites de la référence 1

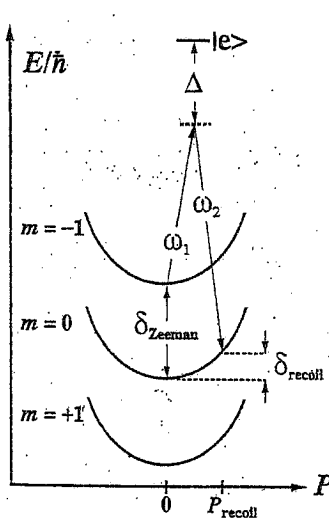
Les courbes en trait plein sont calculées à partir de l'équation de Gross-Pitaevskii

L'amortissement du contraste est plus rapide que sur la courbe de T.

La longueur de cohérence est donc plus petite

Transitions par effet Raman stimulé entre un état piégant ($m = -1$) et un état non piégant ($m = 0$) T-247

Figure extraite de la référence 9



Laser à atomes
avec coupleur
de sortie basé
sur l'effet Raman

Avantage

Les atomes qui sortent ont une vitesse ($2\pi k/m$) plus élevée que dans le système utilisant un coupleur de sortie radiofréquence

$$\text{Puisil} = 2\pi k$$

$$\delta_{\text{recoil}} = 4 \text{ Ensil}$$

Conclusion T-246

- Les résultats de l'expérience décrite plus haut montrent que la longueur de cohérence du condensat piégé est de l'ordre de son extension spatiale
- La coupure du piège et l'expansion balistique qui s'ensuit font apparaître des variations de phases dues à l'accélération communiquée par les interactions et la longueur de cohérence diminue
- Les prédictions théoriques basées sur la résolution de l'équation de Gross-Pitaevskii sont, dans les 2 cas (condensat piégé et expansion balistique), en bon accord avec les observations expérimentales

Exemple de résultats expérimentaux T-248

A - Condensat initial

B - Avec des impulsions laser ayant des polarisations orthogonales, le transfert $m = -1 \rightarrow m = 0$ peut se faire

C - Avec des polarisations parallèles, l'état interne ($m = -1$) ne peut pas changer

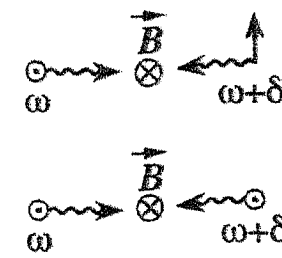
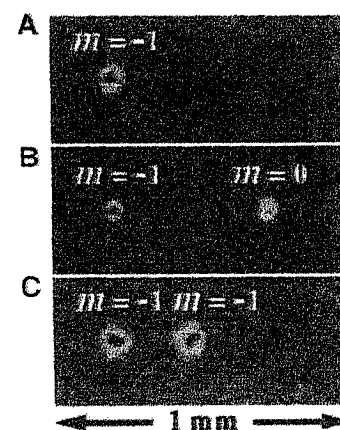
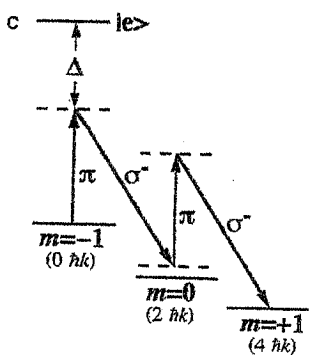
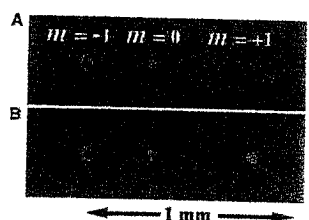


Figure extraite de la référence 9

Transitions Raman d'ordre supérieur

Figure extraite de la référence 9

T.249



A - Piège coupé immédiatement après l'impulsion laser

B - Piège maintenu 4 ms après l'impulsion laser. Les atomes dans l'état $m=+1$ sont accélérés

Références

T.251

- (1) E. Hagley, L. Deng, M. Kozuma, M. Trippenbach, Y. Band, M. Edwards, M. Dohy, P. Julienne, K. Helmerson, S. Rolston, W. Phillips, Phys. Rev. Lett. 83, 3112 (1999)
- (2) B. Sanjourca, T. Hijmans, S. Kulin, E. Rasel, E. Peik, N. Ledur, C. Cohen-Tannoudji, Phys. Rev. Lett. 79, 3146 (1997)
- (3) P. Moskowitz, P. Gould, S. Atлас, D. Pritchard, Phys. Rev. Lett. 51, 370 (1983)
- (4) P. Gould, G. Ruff, D. Pritchard, Phys. Rev. Lett. 56, 827 (1986)
- (5) P. Martin, B. Oldaker, A. McKlein, D. Pritchard, Phys. Rev. Lett. 60, 515 (1988)
- (6) C. Cohen-Tannoudji
Cours au Collège de France 1993-94
- (7) D. Giltinan, R. McGowan, S. Lee
Phys. Rev. Lett. 75, 2638 (1995)

Atomes éjectés hors du condensat après n impulsions laser

T.250

A: $n=1$ B: $n=3$ C: 6

D: Suite d'impulsions avec une fréquence de répétition de 20 kHz

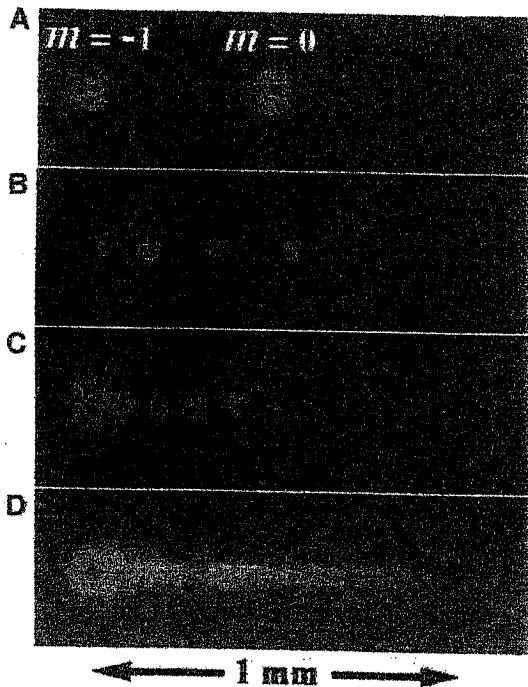


Figure extraite de la référence 9

Références (suite)

T.252

- (8) M. Kozuma, L. Deng, E. Hagley, J. Wen, R. Lutwak, K. Helmerson, S. Rolston, W. Phillips, Phys. Rev. Lett. 82, 871 (1999)
- (9) E. Hagley, L. Deng, M. Kozuma, J. Wen, K. Helmerson, S. Rolston, W. Phillips
Science, 283, 1706 (12 March 1999)